

مدل سازی گذرای عددی و بررسی تجربی اثر بافت سطح بر روان کاری الاستوھیدرودینامیک

^۲ امیر ترابی،^{*} صالح اکبرزاده،^۱ بهنام اعظمی،^۲ محسن اصفهانیان،^۳

۱- دانشکده فنی و مهندسی، دانشگاه شهر کرد، شهر کرد، ایران

۲- دانشکده مهندسی مکانیک، دانشگاه صنعتی اصفهان، اصفهان، ایران

تاریخچه داوری: پدیده سایش و اصطکاک راه کارهای کاهش آنها سیار مورد توجه بوده است. یکی از این روش‌ها الگودهی سطح و ایجاد ریز حفره روی آن است که با استفاده از لیزر با سرعت و دقت بالا قابل انجام است. در این پژوهش ابتدا مدل عددی به صورت گذرا برای بررسی رفتار اصطکاکی و شکل‌گیری لایه روان کار با وجود حفره روی سطح توسعه داده شده است. نتایج بررسی عددی نشان داد که فرض دو گام زمانی که در مطالعات رایج است خطای بزرگی در تخمین ضریب اصطکاک ایجاد می‌کند و برای عبور از روی حفره تعداد ۱۱ گام زمانی پیشنهاد می‌شود. سپس اثر ایجاد بافت لیزرنی بر روی دیسکی از جنس فولاد ST37 در شرایط تماس خطی در رژیم روان کاری مخلوط به صورت تجریبی بررسی شده است. در این پژوهش دو پارامتر رودی سرعت خطی و بار اعمالی متغیر بودند. با تغییر این پارامترها ضریب اصطکاک به طور متوسط پس از طی مسافت‌های ۱۰۰ متری اندازه گیری شده است. با بررسی‌های صورت گرفته مشخص گردید که با افزایش سرعت و کاهش نیروی اعمالی میزان اصطکاک کاهش پیدا می‌کند. همچنین با مقایسه نتایج بین دیسک‌های الگودهی شده و صیقلی مشخص شد که میزان ضریب اصطکاک بین ۱۲ تا ۲۳ درصد در بررسی تجربی کاهش یافته است در حالی که در تخمین عددی امکان داشتن کاهشی بین ۴۰ تا ۲۵ درصد نیز پیش‌بینی می‌شود. در سرعت‌های بالا تخمین‌های مدل عددی و نتایج بدست آمده از آزمایش سیار بهم نزدیک شده‌اند.

١- مقدمة

تماس دو سطح، در درون این حفره‌ها قرار گرفته و مانع سایش بیشتر سطوح توسط این ذرات می‌شوند. از طرفی ریزحفره‌ها به عنوان یک مخزن کوچک روان‌کننده هستند. هرچند که حجم روان‌کار زیادی در این حفره‌ها نمی‌تواند قرار گیرد، با این وجود همین مقدار کم تاثیر بسزایی در کاهش اصطکاک بین سطوح در تماس با یکدیگر دارد (بیشتر در حالت رژیم روانکاری مرزی دیده می‌شود). با وجود این حفره‌ها انتقال رژیم روان‌کاری از مخلوط به کامل در سرعت‌های کمتری نسبت به سطح صاف رخ می‌دهد. بدین معنی که در یک زمان مشخص فیلم سیال در بین سطوح دارای الگو سریعتر از سطوح بدون الگو، تشکیل می‌شود و باعث کاهش سایش و اصطکاک می‌گردد.

الگوی‌های مختلفی را می‌توان روی سطوح ایجاد کرد. اما حالت نیم‌کروی بیشتر مورد استفاده قرار می‌گیرد، از طرفی عملکرد بهتری نسبت به هندسه‌های دیگر دارد و همچنین ایجاد حفره کروی به وسیله لیزر نسبت به هندسه‌های دیگر راحت‌تر است [۱]. برای اولین بار

در تماس ناهمدیس سطوح، تغییر شکل‌های الاستیک سطوح از مرتبه ضخامت لایه روان کار است و در نتیجه باید در تحلیل روان کاری لحاظ گردد. در روان کاری الاستو-هیدرودینامیک مشخصه‌هایی چون سختی جسم، میزان همدیسی، و همچنین میزان افزایش لزحت روان کار با فشار از اهمیت زیادی برخوردارند. با پیشرفت علم و تکنولوژی، اخیراً از الگوهای مختلف روی سطوح برای بهبود عملکرد تربیولوژیکی آنها استفاده می‌شود. این الگوها عموماً شامل حفره‌هایی با شکل‌های هندسی مختلف هستند. سایز و هندسه حفره‌ها با توجه به مشخصات سطوح تماس (گرانزوی، هندسه منافذ، سرعت تماس، فشار بار و غیره) مشخص می‌شود. فرورفتگی سطح می‌تواند رفتار تربیولوژیکی را با محتوای روغن درون حفره و کمک به تحمل بار با ایجاد فشار هیدرواستاتیک در حفره بهبود بخشد. این حفره‌های کوچک روان کننده می‌توانند عمر مفید قطعات را بیشتر کنند. همچنین ریزحفره‌ها به عنوان یک مکان برای جمع‌آوری ذرات ساییده شده در

* نویسنده عهده دار مکاتبات: torabi@sku.ac.ir

وابستگی شدید قطر حفره و کاهش اصطکاک نیز دیده شد. در صورت بهینه‌سازی بافت بیش از ۸۰٪ کاهش اصطکاک می‌توان داشت. قطر مطلوب بستگی به دمای روغن و ویسکوزیته روغن دارد [۷]. چادواری و همکاران اثر بافت سطح را در بارهای بسیار بالا و حرکت رفت و برگشتی بررسی کردند [۸]. آنها روغن‌های رقیق و لرج را بررسی کردند و اثر بهبود ریزحفره‌ها را بر مشخصات ترایبولوژیکی مانند اصطکاک و سایش نشان دادند.

در مدل‌سازی جریان روان کار با وجود حفره نیز کارهای فراوانی انجام شده است. کارامیا و همکاران [۹] مدل دو بعدی و هان و همکاران [۱۰] مدل سه بعدی روان کاری هیدرودینامیکی با وجود بافت حفره‌ای را با حل معادلات حاکم بدست آوردند. طراحی و بهینه‌سازی بافت حفره‌ای در سال‌های اخیر همچنان توجه زیادی را به خود جلب کرده است و تحقیقات متعددی روی آن انجام می‌شود. از این موارد می‌توان به کارهای گروپر و همکاران [۱۱ و ۱۲]، مقاله رحمانی و راهنچات [۱۳]، منگ و همکاران [۱۴]، روم و مولر [۱۵] و طایی و همکاران [۱۶] اشاره کرد. یان و همکاران به مدل‌سازی روان کاری سطح دارای ریزحفره با درنظر گرفتن اثرات گرمایی و اثرات زبری سطح پرداختند [۱۷]. آنها مدلی برای عمر خستگی و ارتباط آن با شرایط تماس ارایه کردند.

در این مقاله به تکمیل مدل‌سازی جریان با درنظر گرفتن شرایط گذرای عبور دو سطح از روی یکدیگر پرداخته شده است. با این کار خطابی که در مدل سازی‌های قبلی بوده اصلاح شده و تخمین بهتری از شرایط روان کاری بدست آمده است. سپس به صورت تجربی به بررسی یافته‌های مدل‌سازی اقدام شده تا نتایج و روند تغییرات ضریب اصطکاک با شرایط واقعی ارزیابی شوند.

۲- مدل‌سازی عددی

تماس دو سطح با یکدیگر به گونه‌ای که مرکز سطح هر کدام در سمت مجازی از خط مماس بر ناحیه تماس باشد، تماس ناهمدیس نامیده می‌شود. در این نوع تماس سطح واقعی تماس بسیار کوچک است و تحت بارهای متوسط هم فشارهای بزرگی در این ناحیه ایجاد می‌شود. اگر تماس به صورتی باشد که در یک راستا شرایط تماس سطح منحنی تغییر نکند، نظیر تماس دو استوانه با هم در امتداد محور استوانه، ناحیه تماس به صورت یک مستطیل کشیده است.

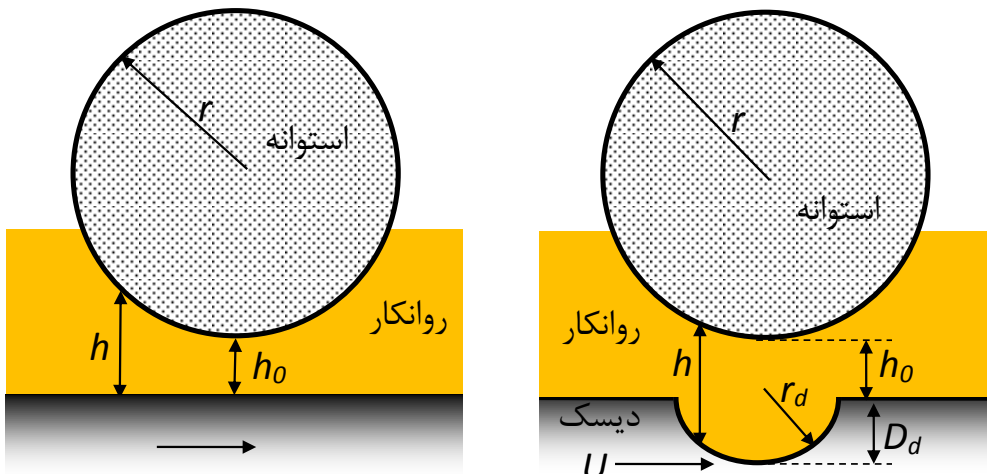
استفاده از الگوهی زبری سطح، به منظور بهبود خواص ترایبولوژیکی، در سال ۱۹۶۰ مورد بحث قرار گرفت. همیلتون و همکاران و آننو و همکاران به بررسی ساختار زبری سطح در آب‌بندهای مکانیکی^۱ پرداختند و مشخص شد که ریززبری‌ها در نیروی بین سطوح آب‌بندها و کاهش سایش بسیار مفید هستند [۲]. استفاده از فرایند ایجاد بافت با پژوهش اتسیون و برشتاین آغاز شد [۳]. آنها یک مدل تئوری برای ساختار ریزحفره‌های آب‌بندهای مکانیکی ارائه کردند و مشخص شد که در عملکرد آب‌بندها بهبود قابل توجهی صورت می‌گیرد، به خصوص در زمانی که ریزحفره‌های نیم کروی به صورت منظم روی سطح آب‌بند توزیع شده باشند.

کیو و خوانساری به بررسی عملکرد ترایبولوژیکی بافت سطح لیزر رینگ‌های فولادی ضدزنگ پرداختند [۴]. حفره‌های به صورت شکل دایره و بیضوی شکل روی سطح فولاد ایجاد شدند که حالت بیضی در دو جهت شعاعی و محیطی بود. مشاهده شد که سرعت نقش تعیین‌کننده‌ای در فشار روی حفره‌ها بازی می‌کند. برای چگالی سطح مشخص، عملکرد حفره وابسته به نسبت عمق به قطر است. اگر چگالی حفره‌ها ثابت باشد، نسبت بهینه‌ای وجود دارد. در نهایت نتایج حاکی از آن بود که حفره‌های بیضوی در جهت محیطی عملکرد بهتری نسبت به دو حالت دیگر دارند. کانگو و همکاران به بررسی عددی اثر بافت سطح بر عملکرد یاتاقان ژورنال هیدرودینامیکی پرداختند [۵]. در این بررسی اثر ریزحفره روی یاتاقان ژورنال در نظر گرفته شد. معادلات رینولدز در حالت دو بعدی در مختصات استوانه‌ای با روش اختلاف محدود برای تجزیه و تحلیل اثر بافت روی مشخصات یاتاقان حل عددی شدند. مشخص شد که با وجود حفره‌های کوچک در موقعیت‌های مختلف از سطح یاتاقان، عملکرد یاتاقان بهبود می‌یابد. وان و همکاران خواص ترایبولوژیکی پلی تترافلوئوروواتیلن^۲ با وجود بافت سطح را بررسی کردند [۶]. نتایج نشان داد که ضریب اصطکاک فولاد ضدزنگ از ۰/۰۵ به ۰/۰۸ با وجود بافت سطح کاهش می‌یابد. همچنین مشخص شد که در چگالی حفره‌ها بین ۷/۹٪ و ۸/۸٪ کمترین میزان ضریب اصطکاک وجود دارد. براون و همکاران به بررسی اثر ترایبولوژیکال پلی آلفاالفین^۳ پرداختند. مشخص شد که کاهش اصطکاک تنها به نسبت عمق به قطر حفره‌ها وابسته نیست،

1 1. Mechanical seal

2 Poly tetra fluoro ethylene

3 Polyalphaolefin(PAO)



شکل ۱. هندسه حل، تماس خطی روی سطح بدون حفره (سمت چپ) و روی سطح با ریز حفره (سمت راست)

Fig. 1. Geometry of the problem, line contact condition for plain surface (Left) and textured surface (Right)

$$\frac{\partial}{\partial x} \left(\frac{h^3}{12\mu} \frac{\partial p}{\partial x} \right) = \bar{U} \frac{\partial h}{\partial x} + \frac{\partial h}{\partial t} \quad (1)$$

شرایط مرزی حاکم بر این مسئله فشار صفر در فاصله دور در سمت راست و چپ ناحیه تماس است. این معادله برای حالت‌های خاص تغییر جزئی خواهد داشت. این حالت‌های خاص مغذیاتی در جریان و درنظرگرفتن زبری سطح و یا روانکاری مخلوط است. همانطور که از معادله (۱) دیده می‌شود، توزیع فشار تابعی از ضخامت لایه روانکار و خواص روانکار و سرعت است.

در طی حرکت دو سطح روی یکدیگر دما و فشار لایه روانکار به طور محسوس تغییر می‌کند. تغییر فشار برای سطوح ناهمدیس مانند پیرو و بادامک به گونه‌ای است که احتمال تغییر فاز روانکار را پیش می‌آورد. در بیشتر مراجع روابط مربوط به خواص روانکار تغییرات ویسکوزیته و چگالی را بر حسب فشار بیان می‌کنند [۱۹]. روابط زیر برای رفتار روانکار ارایه شده است:

$$\mu = \mu_0 \exp \left\{ A_1 [-1 + (1 + A_2 p)^{Z_0}] \right\} \quad (2)$$

که در آن $Z_0, A_2 = 5.1 \times 10^{-9}, A_1 = \ln(\mu_0) + 9.67$ ثابت برابر $0/68$ است. رابطه چگالی نیز به صورت زیر بیان شده است:

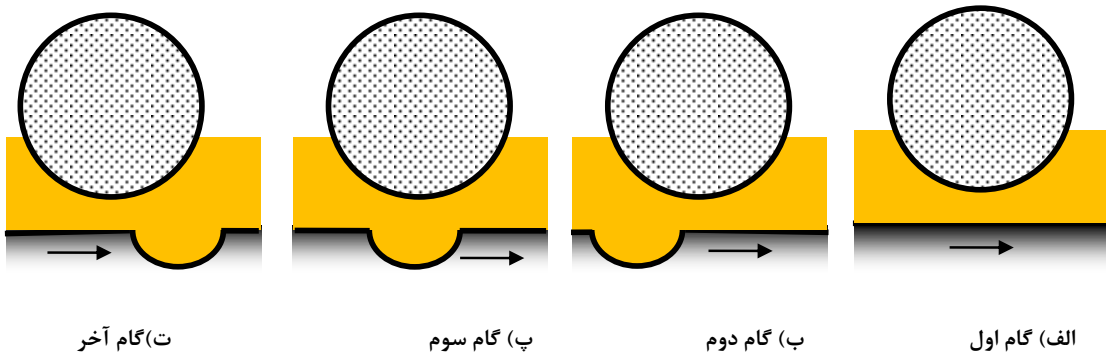
$$\rho = \rho_0 \left[1 + \frac{C_1 p}{1 + C_2 p} \right] \quad (3)$$

که در آن $C_2 = 1.7 \times 10^{-9} Pa^{-1}$ و $C_1 = 0.6 \times 10^{-9} Pa^{-1}$ است.

به همین خاطر این تماس را خطی یا مستطیلی می‌گویند. با تقریب خوبی می‌توان از لبه‌های استوانه در قیاس با ناحیه طویل تماس صرفنظر کرد. از طرفی به خاطر نازکی ضخامت لایه روانکار تغییرات فشار در عرض لایه ناچیز است و بنابراین ناحیه تماس و سیال بین دو سطح را می‌توان به صورت یکبعدی در راستای حرکت سیال از بین دو سطح مدل سازی کرد.

در شکل ۱ هندسه تماس در این مسئله خاص نشان داده شده است. یک سطح مسطح و مرکز آن در بی نهایت است و سطح دیگر یک استوانه طویل است که روی سطح حرکت می‌کند. این مسئله از زمرة مسائل تماس ناهمدیس خطی دسته‌بندی می‌شود. از آنجا که در این پژوهش مدل سازی اثر ریز حفره‌ها مدنظر است، یک ریز حفره در هندسه تماس مشخص شده است.

برای مدل سازی ابتدا شرایط هندسه، بار، سرعت و مشخصات روانکار به عنوان داده‌های اولیه و مشخص در نظر گرفته می‌شود. معادله حاکم بر رفتار روانکار معادله مشهور رینولدز است [۱۸]. معادله رینولدز از ترکیب معادله ممتومن ساده شده برای شرایط روانکاری و بقای جرم بدست آمده است. در روانکاری به خاطر لزجت بالای سیال و فیلم نازک لایه روانکار، نیروهای اینرسی به خاطر جرم پایین سیال (لایه نازک) قابل صرفنظر بوده و نیروی فشاری و نیروهای لزجت حاکم بر مسئله و در تعادل با هم هستند. با در نظر گرفتن ثابت $\bar{U} = \frac{U_a + U_b}{2}$ ، معادله رینولدز در حالت تماس خطی یک بعدی و به صورت زیر در می‌آید:



شکل ۲. تغییر هندسه حل در هنگام عبور استوانه از روی حفره در شبیه سازی با چهار گام زمانی

Fig. 2. Changing the geometry through crossing of pin over the dimple for 4 time steps simulation

حدس حداقل ضخامت استفاده خواهد شد.

$$w = \int_{x_0}^{x_e} pdx \quad (4)$$

الگوریتم تشریح شده مربوط به حل جریان در یک لحظه است و در صورتی که جریان پایا باشد حل کامل خواهد بود. در شکل ۲ عبور استوانه از روی ریز حفره در گام‌های زمانی نشان داده شده است. همانطور که در شکل دیده می‌شود، موقعیت ریز حفره نسبت به استوانه در تحلیل جریان و توزیع فشار می‌تواند تأثیر به سزایی داشته باشد. با حرکت استوانه روی سطح هندسه جریان با زمان تغییر می‌کند. این اثر در معادلات با عبارت گذرای معادله (۱) قابل مدل‌سازی است. چرا که در این عبارت می‌توان تأثیر تغییر ضخامت نسبت به گام قبلی را مدنظر قرار داد. گام زمانی اول روی سطح بدون حفره شروع می‌شود و در چند گام زمانی استوانه از روی حفره می‌گذرد تا در نهایت دوباره به سطح مسطح برسد.

۳- بررسی آزمایشگاهی:

برای بررسی آزمایشگاهی از دستگاه تراپیولوژیکی پین روی دیسک بهره گرفته شده است. جنس دیسک از یک فلز اصطلاحاً نرم نظیر فولاد ST۳۷ انتخاب گردید که دارای سختی ۲۲۰ ویکرز است. جنس پین استفاده شده در انجام آزمایش‌ها، فولاد بلبرینگ ۵۲۱۰۰ با سختی ۸۰۰ ویکرز^۱ است. شکل پین به دلیل کروی بودن دو انتهای آن برای تماس نقطه‌ای مناسب بود، اما برای تماس خطی با استفاده از وايرکات ابتدا انتهای آن تخت شده، از دو طرف به میزان مساوی بریده

در تماس سطوح ناهمدیس فشارهای بسیار بالا سبب تغییر شکل الاستیک و افزایش فاصله آنها از یکدیگر می‌شود. اگر تماس دو جسم به صورت مستطیلی یا به عبارتی خطی باشد مثلاً استوانه و سطح مسطحی را در نظر بگیرید که روانکاری بین آنها قرار دارد؛ این تغییر شکل در عبارت $(x)\delta$ ظاهر می‌شود.

$$h = h_0 + \frac{x^2}{2r} + \delta(x) + dimple(x) \quad (4)$$

$$\delta(x) = \frac{-2}{\pi E'} \int_{x_{min}}^{x_{end}} p \ln(x-x')^2 dx' \quad (5)$$

با استفاده از معادلات ۲ تا ۵ خواص روانکار و ضخامت لایه روانکار بر اساس فشار قابل محاسبه است. بنابراین با حدس اولیه فشار می‌توان تخمینی از خواص روانکار و ضخامت لایه روانکار داشت. با حل معادله رینولدز توزیع فشار جدید بدست می‌آید و سپس توزیع فشار جدید با اعمال یک ضریب رهاسازی مناسب حلقه حل را معادلات ۱ تا ۵ را دور می‌زنند تا همگرایی توزیع فشار بدست آید. با توجه به تغییرات عمدۀ ویسکوزیته و چگالی با فشار تغییر شکل سطوح می‌توانند تا چندین مرتبه بزرگتر از حداقل ضخامت لایه روانکار شود و در نتیجه این معادلات در دستیابی به توزیع فشار باید همراه هم حل شوند.

با بدست آمدن توزیع فشار و انتگرال گرفتن فشار روی سطح تماس میزان بار تحمل شده بدست خواهد آمد. این معادله هم می‌تواند معیاری برای همگرایی و هم ابزاری برای تنظیم گام بعدی در حل توزیع فشار باشد. چرا که h^* یا ضخامت اولیه لایه روانکار در معادله ۴ به صورت حدسی انتخاب می‌شود و معادله بار، رابطه ۶، برای اصلاح



شکل ۳. دیسک حفره دار (سمت چپ) و نحوه قرارگیری پین و دیسک بر روی دستگاه (سمت راست)

Fig. 3. Textured disk (Left) and pin on disk assembly on test apparatus (Right)

نسبت سطح تحت پوشش حفره به سطح کل که برای یک نسبت ابعادی مشخص چگالی بهینه‌ای وجود دارد. هرچه چگالی بالاتر باشد به معنی عملکرد بهتر نیست [۲۰]. حفره‌ها نیم‌کروی با قطر ۴۰۰ میکرومتر و عمق حدود ۳۰ میکرومتر روی سطح ایجاد شدند. از آنجا که دستگاه دارای خروج از مرکزی تقریباً برابر ۲ میلیمتر بود پهنه‌ای باند ۶ میلیمتر به مرکزیت شعاع ۱۶ میلیمتر در نظر گرفته شد. در شکل ۳ نحوه قرارگیری دیسک داخل محفظه و بر روی دستگاه نشان داده شده است.

در این پژوهش از روغن هیدرولیک ISO VG ۶۸-۶۸ در عنوان روان کار استفاده شد که مشخصات آن در جدول cSt ۶۸ به عنوان روان کار استفاده شد که مشخصات آن در جدول ۱ آورده شده است. برای بررسی اثر الگودهی سطح بر رفتار سایشی و اصطکاکی سطوح، تست‌ها تحت سه بار مختلف ۵۰، ۱۰۰ و ۱۴۰ نیوتون و دوسرعت مختلف ۰/۰۸۵ و ۰/۲۱۵ متر بر ثانیه با شرایط ثابت‌نگهداشتن یک مورد و تغییر پارامتر دیگر انجام گرفته شده‌اند تا اثرات تغییر سرعت در بار ثابت و تغییر بار در سرعت ثابت بررسی شوند.

شده، به‌گونه‌ای که به ضخامت ۲ mm از آن باقی گذاشته شد و در نهایت یک انحنای یک‌طرفه به شعاع ۱۰ mm در انتهای آن زده شد. نمونه‌های مورد نظر قطر ۵۰ میلی‌متر و ضخامت ۸ میلی‌متر ساخته شد و به کمک دستگاه سنگ مغناطیسی دو طرف تمام دیسک‌ها سنگزند شد. نمونه‌ها تا سنباده ۱۰۰۰ پرداخت شدند.

با استفاده از لیزر Nd: YAG با طول موج ۱۰۶۴ nm و توان ۱۰۰۰ با عرض پالس ۱۰۰ ns برای ایجاد حفره‌های حالت دایره‌ای روی سطح دیسک استفاده شد. با ایجاد ریز‌حفره روی سطح، برآمدگی^۱ روی سطح به دور حفره بوجود می‌آید که خود، باعث افزایش سایش و اصطکاک می‌شود. برای ازبین‌بردن این برآمدگی‌ها به ناچار دوباره نمونه‌ها با سنباده ۱۰۰۰ پرداخت می‌شوند با توجه به شعاع حرکت پین روی سطح دیسک (۱/۶ سانتی‌متر) و عرض ناحیه تماس پین با دیسک، محاسبات مربوط به تعداد ریز‌حفره‌های روی سطح و فاصله بین حفره‌ها، با چگالی بهینه ۱۲ درصد برای ریز‌حفره‌ها در حالت ۵ ردیفه به صورت فاصله شعاعی مرکز تا مرکز حفره‌ها ۱/۴ میلی‌متر و در هر ردیف ۱۱۵ حفره در نظر گرفته شد. چگالی حفره عبارتست از

جدول ۱. مشخصات روان کار استفاده شده در بررسی تجربی و شبیه‌سازی عددی

Table 1. Lubricant specification which is used for experimental tests and numerical simulations

استاندارد ملی ایران	ASTM	روش آزمون	مشخصات روان کار
۳۴۰	D-۴۴۵	۶۸	گرانزوی سینماتیک در cSt، درجه ۴۰
۱۹۵	D-۲۲۷۰	۹۵	شاخص گرانزوی (VI) (حداقل)
۱۹۸	D-۹۲	۲۱۰	نقطه اشتعال، درجه سلسیوس (حداقل)
۲۰۱	D-۹۷	-۱۰	نقطه ریزش، درجه سلسیوس (حداکثر)
۱۹۷	D-۱۲۹۸	۸۸۰	دانسیته در kg/m ^۳ ۱۵ درجه

جدول ۲. تغییرات ضریب اصطکاک با اندازه شبکه حل

Table 2. Variation of friction coefficient with size of mesh

درصد تغییر ضریب اصطکاک	ضریب اصطکاک محاسبه شده	تعداد مش شبکه نسبت به تعداد مش قبل	درصد تغییر ضریب اصطکاک	ضریب اصطکاک محاسبه شده با نسبت به تعداد مش قبل	تعداد مش شبکه محاسبه شده با نسبت به تعداد مش قبل
-۷/۳۱	۰/۰۵۹۵	۲۵۰	-۷/۳۱	۰/۰۶۵۲	۱۳۰
۸/۸۰	۰/۰۵۴۲	۲۶۰	۱۱/۴۲	۰/۰۵۷۷	۱۴۰
۸/۰۴	۰/۰۴۹۹	۲۷۰	-۲۱/۷۶	۰/۰۷۰۳	۱۵۰
-۸/۷۸	۰/۰۵۴۲	۲۸۰	۱۲/۷۳	۰/۰۶۱۳	۱۶۰
-۰/۰۶	۰/۰۵۴۳	۲۹۰	۷/۷	۰/۰۵۶۶	۱۷۰
۱/۴۶	۰/۰۵۳۵	۳۰۰	-۲۳/۳۲	۰/۰۶۹۸	۱۸۰
۱/۴۷	۰/۰۵۲۷	۳۱۰	۲۱/۹۷	۰/۰۵۴۵	۱۹۰
-۳/۴۷	۰/۰۵۴۵	۳۲۰	-۷/۲۷	۰/۰۵۸۴	۲۰۰
-۰/۴۱	۰/۰۵۴۷	۳۳۰	۱۳/۳۳	۰/۰۵۰۷	۲۱۰
۳/۵۸	۰/۰۵۲۸	۳۴۰	-۲۲/۴۲	۰/۰۶۲۰	۲۲۰
۱/۸۲	۰/۰۵۱۸	۳۵۰	۶/۶۴	۰/۰۵۷۹	۲۳۰
			۴/۳۰	۰/۰۵۵۴	۲۴۰

ثانیه انجام شده است. در جدول ۲ استقلال حل از شبکه تحقیق شده است. همان‌طور که در شکل دیده می‌شود برای اندازه شبکه بزرگتر از $N = 280$ تغییری در میزان اصطکاک محاسبه شده و توزیع فشار دیده نمی‌شود. بنابراین کلیه محاسبات عددی با این تعداد مش انجام شده است.

نکته دیگری که در این مقاله مورد توجه قرار گرفته است انتخاب گام زمانی مناسب برای عبور از حفره است. در مطالعات پیشین گذرا از حفره مورد توجه نبوده و شرایط حفره و بدون حفره جداگانه مورد بررسی قرار می‌گرفتند. سپس بر اساس چگالی حفره ضریب اصطکاک با توجه به سهم هر کدام محاسبه می‌شد. در این مقاله شرایط متغیر تماس سطح و پین در حضور حفره به طور ویژه در نظر گرفته شده است. با انتخاب گام زمانی مناسب عبور از حفره به صورت مجموعه‌ای از شرایط تماس متغیر با زمان حل شده است. در جدول ۳ اثر انتخاب گام زمانی روی ضریب اصطکاک محاسبه شده نهایی نشان داده شده است. شرایط کاری شبیه‌سازی همانند مواردی است که در استقلال شبکه در نظر گرفته شد. ضریب اصطکاک به صورت متوسط ضریب محاسبه شده در کل گام‌های زمانی بدست آمده است. در شکل ۴ سه

با توجه به سه بار و دو سرعت مختلف تعداد ۶ آزمایش طراحی شده است. برای اطمینان از داده‌های بدست‌آمده هر آزمایش سه بار تکرار شد و در هر آزمایش متوسط ضریب اصطکاک برای ۲۰ متر مسافت عبور استوانه روی دیسک بدست آمده است. پس از طی مسافت ۲۰ متری دیسک تمیز شده و دوباره برای مسافت ۲۰ متری دیگری اندازه‌گیری ضریب اصطکاک تکرار می‌شود. این فرایند برای ۲۵ بار تکرار شده است و تا مسافت ۵۰۰ متر تماس دو سطح اندازه‌گیری ضریب اصطکاک ادامه یافت.

۴- نتایج:

میدان حل گسسته شده و روش نیوتون رافسون برای حل معادلات رینولدز حاکم بر جریان روان کار استفاده شده است. یکی از مواردی که در حل عددی باید مورد بررسی قرار گیرد، اندازه شبکه گسسته‌سازی شده است. برای بررسی اندازه شبکه روانکار و هندسه‌ای مشابه آزمایش تجربی در نظر گرفته شده است. حفره‌ها نیم کروی، با قطر ۴۰۰ میکرون و عمق ۳۰ میکرون و استوانه به شعاع ۱۰ میلیمتر انتخاب شد. شبیه‌سازی‌ها در بار ۱۰۰ نیوتون و سرعت ۰/۱ متر بر

جدول ۳. تغییرات ضریب اصطکاک با تعداد گام زمانی حل

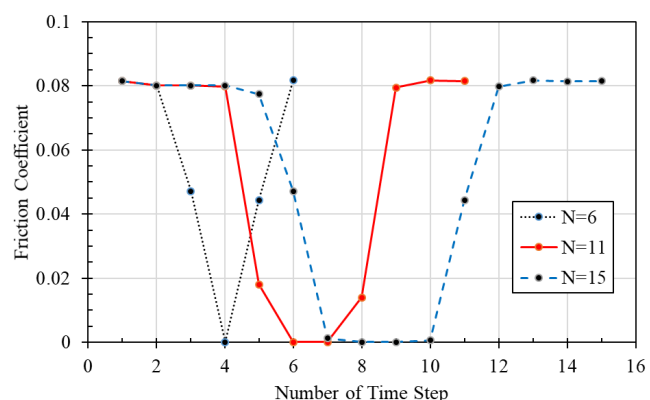
Table 3. Variation of friction coefficient with number of time step

درصد تغییر ضریب اصطکاک محاسبه شده نسبت به تعداد گام زمانی قبل	ضریب اصطکاک محاسبه شده با تعداد گام زمانی	تعداد گام زمانی محاسبه شده	درصد تغییر ضریب اصطکاک محاسبه شده نسبت به تعداد گام زمانی قبل	ضریب اصطکاک محاسبه شده با تعداد گام زمانی	تعداد گام زمانی
۴/۷۴	۰/۰۵۵۲	۹	۰/۰۴۰۸	۲	
۰/۰۷	۰/۰۵۵۲	۱۰	۴۱/۳۸	۰/۰۵۷۷	۳
-۱/۷۸	۰/۰۵۴۲	۱۱	۵/۲۷	۰/۰۶۰۷	۴
۰/۸۸	۰/۰۵۴۷	۱۲	-۱۹/۲۲	۰/۰۴۹۰	۵
۰/۰۶	۰/۰۵۴۷	۱۳	۱۳/۸۳	۰/۰۵۵۸	۶
-۰/۳۷	۰/۰۵۴۵	۱۴	۲/۱۵	۰/۰۵۷۰	۷
-۰/۱۰	۰/۰۵۴۵	۱۵	-۷/۶۳	۰/۰۵۲۷	۸

بهتر نمایان کند ولی از طرفی هزینه محاسبات را بالاتر می برد. که بر اساس نتایج بدست آمده از جدول ۳ مشخص شد تعداد ۱۱ گام زمانی می تواند تخمین بهتری از شرایط گذراي عبور از حفره بدست دهد. بنابراین در محاسبات و بررسی اثر بار و سرعت از این تعداد گام زمانی بهره گرفته شده است. نکته مهم دیگر در مدل سازی شرایط گذرا این است که در عبور دو سطح از همدیگر و رسیدن به حفره ضخامت لایه روان کار با زمان تغییر می کند که اثر عبارت آخر معادله ۱ را با اهمیت خواهد کرد.

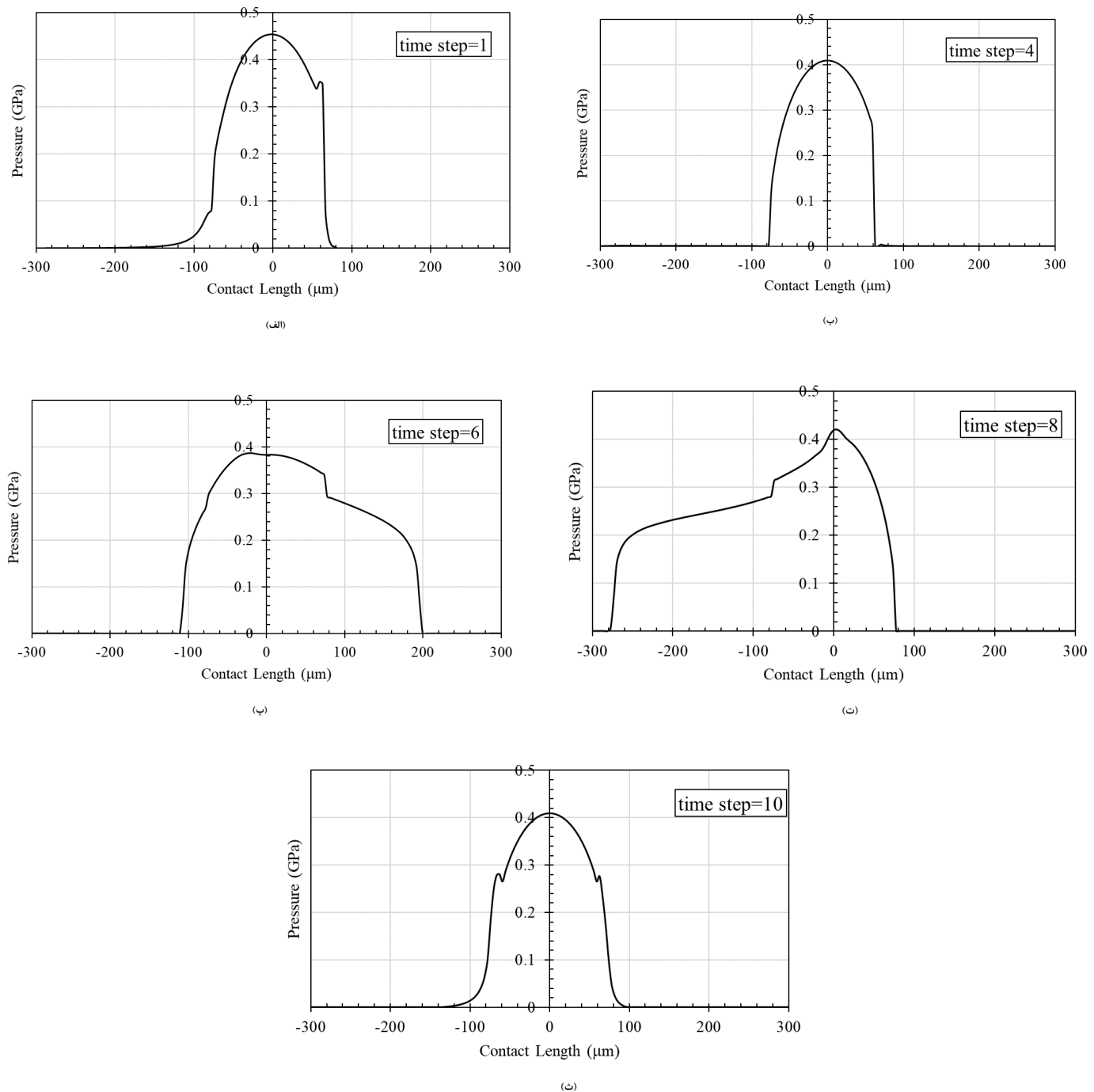
شکل ۵ (الف-ث) پنج توزیع فشار را در حین عبور از حفره نشان می دهد. حفره با حرکت سطح در ۱۱ مرحله از موقعیت اولیه خود که انتهای سمت چپ است به موقعیت نهایی خود که انتهای سمت چپ است می رود. این نتایج برای بار ۱۰۰ نیوتون و سرعت ۰/۱ متر بر ثانیه است. همانطور که در شکل ۵-الف نشان داده شده است، توزیع فشار به علت نبودن حفره در میدان حل همانند توزیع فشار الاستوھیدرودینامیکی دو سطح بدون حفره است. در لحظه شکل ۵-پ حفره در سمت راست انتهای ناحیه تماس هرتزین قرار دارد و به خاطر حفره نسبتاً بزرگ نسبت به ضخامت لایه روان کار توزیع فشار به سمت راست کشیده شده است و در لحظه شکل ۵-ت حفره در سمت مقابل قرار می گیرد و توزیع فشار در این سمت تقریباً ثابت می شود. در لحظه شکل ۵-ث حفره سطح تماس را ترک کرده و اثرات

تقسیم بندی گام زمانی ۶، ۱۱ و ۱۵ در نظر گرفته شده و نتایج ضریب اصطکاک محاسبه شده در هر گام نشان داده شده است. همان طور که مشخص است در گامهای زمانی اولیه و انتهایی حفره در کناره های محدوده تماس قرار دارد و اثر محسوسی روی ضریب اصطکاک نمی گذارد ولی در گامهای زمانی میانی این اثر و به طور خاص کاهش ضریب اصطکاک نمایان می شود. ضریب اصطکاک به صورت متوسط ضریب اصطکاک همه گامها ارایه می شود در حالی که در مطالعات قبلی از این گذار چشم پوشی شده است. نکته حائز اهمیت این است که تعداد بیشتر گام زمانی می تواند اثر گذر سطح تماس از حفره را



شکل ۴. تغییرات ضریب اصطکاک در حین عبور از حفره به ازای چند تعداد گام زمانی حل

Fig. 4. Variation of friction coefficient during dimple crossing for different time step



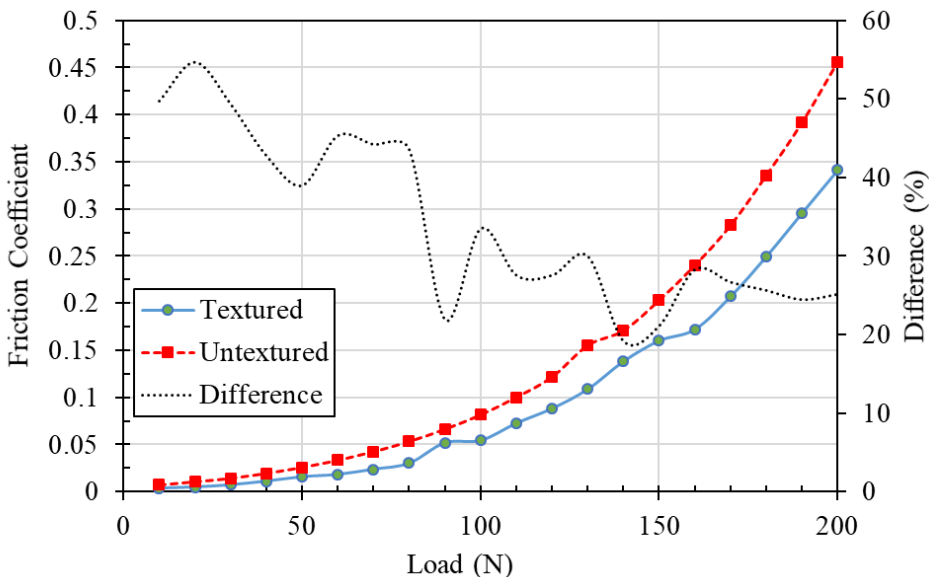
شکل ۵. تغییرات توزیع فشار در حین عبور از حفره

Fig. 5. Variation of pressure distribution during dimple crossing

می‌دهد. اثر وجود حفره‌ها بر بار به خصوص در بارهای پایین بسیار محسوس است. در این بارها ضریب اصطکاک نزدیک به ۴۰ درصد کاهش را نشان می‌دهد. در حالی که در بارهای بالاتر این بهبود به ۲۵ درصد می‌رسد. علت این پدیده ایجاد توزیع فشار گستردگی با حداقل‌های کمتر و ضخامت بیشتر روان کار است. بدین ترتیب تنفس برشی در عرض لایه روان کار کمتر شده و ضریب اصطکاک ناشی از

گذرا در شکل‌گیری لایه روان کار در حال تأثیر هستند و در حالی که توزیع فشار تلاش دارد دوباره به سمت توزیع الاستوھیدرودینامیکی بر می‌گردند.

با مشخص شدن الزامات مدل‌سازی اثر بافت سطح برای شرایط مختلف بار و سرعت مورد بررسی قرار گرفت. شکل ۶ تغییرات ضریب اصطکاک را برای بارهای مختلف در سرعت ۰/۱ متر بر ثانیه نشان



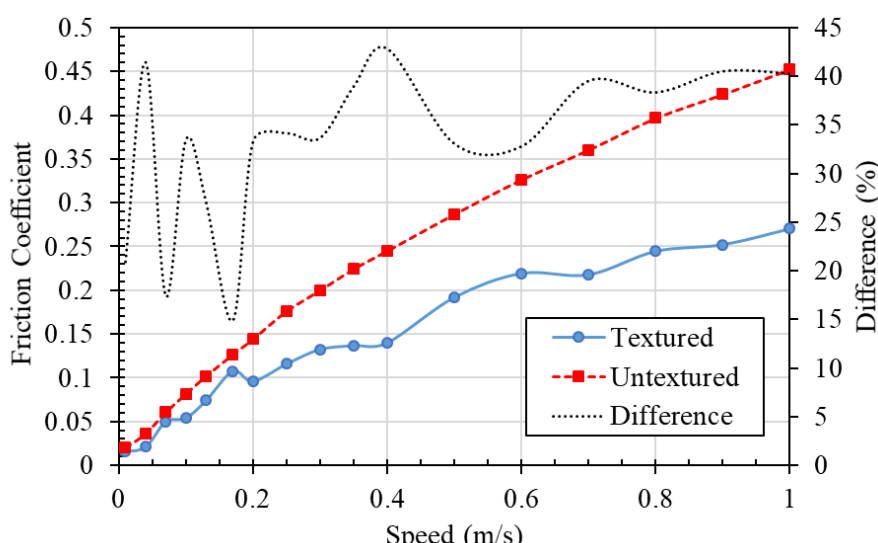
شکل ۶. مقایسه تغییرات ضریب اصطکاک بر حسب بار برای سطح صاف و حفره دار

Fig. 6. Comparison of friction coefficient variation with load for plain and textured surface

نیز نسبت به سطح بدون حفره به طور محسوس کمتر است که این نیز ویژگی مطلوب تلقی می‌شود. دلیل بهبود حفره‌دار کردن سطح بر اندازه ضریب اصطکاک را در این حالت باز باید در ضخیم‌شدن لایه روان‌کار و کاهش تنش برشی در عرض لایه روان‌کار جستجو کرد. برای بررسی اثر حفره‌دار کردن سطح به صورت تجربی در مجموع شش تست برروی دیسک‌های ساده و حفره‌دار برای تماس خطی در حضور روان‌کار صورت گرفت. با توجه به تست‌هایی انجام شده به صورت تجربی، شرایط به صورت عددی نیز بررسی شد و نتایج بدست آمده از حالت بدون حفره در جدول ۴ و در صورت وجود حفره در جدول

برش لایه روان‌کار را کاهش می‌دهد.

در شکل ۷ اثر حفره دارشدن سطح در سرعت‌های مختلف سطح نشان داده شده است. انتظار بر این است که در سرعت‌های بالاتر به خاطر برش شدیدتر لایه روان‌کار ضریب اصطکاک افزایش یابد که در شکل نیز این روند دیده می‌شود. اثر حفره در سرعت‌های مختلف نیز همانند بارهای مختلف چشم‌گیر است. البته با این تفاوت که در سرعت‌های پایین بهبودی در حدود ۳۰ درصد دیده شده و در سرعت‌های بالاتر اثر آن قابل ملاحظه‌تر شده و تا ۴۰ درصد بهبود مشاهده می‌شود. شبی افزایش ضریب اصطکاک در سطح حفره‌دار



شکل ۷. مقایسه تغییرات ضریب اصطکاک بر حسب سرعت برای سطح صاف و حفره دار

Fig. 7. Comparison of friction coefficient variation with speed for plain and textured surface

جدول ۴. شرایط و نتایج آزمایش و مقدار محاسبه شده در دیسک های ساده در تماس خطی

Table 4. Test conditions and the results of simulated and experimental data for plain disk in line contact condition

ضریب اصطکاک محاسبه شده	خطای اصطکاک تجربی	ضریب اصطکاک تجربی	نیروی اعمالی N	سرعت خطی m/s	شماره تست
۰/۰۲۳۱	۰/۰۰۰۷	۰/۱۱۵۷۵	۵۰	۰/۰۸۵	۱
۰/۰۷۱۶	۰/۰۰۱۲	۰/۱۷۰۵۷	۱۰۰	۰/۰۸۵	۲
۰/۱۴۹۵	۰/۰۰۰۸۲	۰/۲۱۴۷	۱۴۰	۰/۰۸۵	۳
۰/۰۴۴۲	۰/۰۰۱۶	۰/۱۰۸۰۳	۵۰	۰/۲۱۵	۴
۰/۱۴۵۷	۰/۰۰۳۹	۰/۱۵۵۰۳	۱۰۰	۰/۲۱۵	۵
۰/۱۷۳۳	۰/۰۰۱۸	۰/۱۸۸۷	۱۴۰	۰/۲۱۵	۶

جدول ۵. شرایط و نتایج آزمایش و مقدار محاسبه شده در دیسک های حفره دار در تماس خطی

Table 5. Test conditions and the results of simulated and experimental data for textured disk in line contact condition

ضریب اصطکاک محاسبه شده	خطای اصطکاک تجربی	ضریب اصطکاک تجربی	نیروی اعمالی N	سرعت خطی m/s	شماره تست
۰/۰۲۲۰	۰/۰۰۱	۰/۰۹۴۹۷	۵۰	۰/۰۸۵	۱
۰/۰۶۸۷	۰/۰۰۴۱	۰/۱۴۳۴۳	۱۰۰	۰/۰۸۵	۲
۰/۱۴۴۲	۰/۰۰۵۳۵	۰/۱۸۸۸۳	۱۴۰	۰/۰۸۵	۳
۰/۰۴۳	۰/۰۰۲۸۵	۰/۰۹۰۵۳	۵۰	۰/۲۱۵	۴
۰/۱۳۹۴	۰/۰۰۲۲	۰/۱۲۹۹۷	۱۰۰	۰/۲۱۵	۵
۰/۱۶۴۲	۰/۰۰۱۴۵	۰/۱۵۲۳	۱۴۰	۰/۲۱۵	۶

در نتیجه آن، ضریب اصطکاک کاهش یافته و بار نیز شرایط تماس را به سمت تماس مخلوط و درگیری بیشتر زبری ها و البته اصطکاک بیشتر سوق می دهد.

رونده تغییرات نتایج عددی و تجربی در مورد بار مشابه یکدیگر است. در نتایج عددی با افزایش بار افزایش ضریب اصطکاک مشاهده شد ولی افزایش سرعت بر خلاف نتایج تجربی که کاهش ضریب اصطکاک را نشان می دهد باعث افزایش این شاخص شده است. این تفاوت آشکار مشخصاً به خاطر فرض جریان الاستوهدرودینامیک و پرهیز از مدل سازی درگیری زبری ها در حل عددی است. در حالی که در رژیم روان کاری مخلوط که درگیری جزئی زبری ها وجود دارد، افزایش سرعت، افزایش ضخامت لایه روان کار و کاهش درگیری و اصطکاک زبری ها را به دنبال خواهد داشت که در قیاس با افزوده شدن به اصطکاک لزج قابل ملاحظه است. نکته جالب توجه این است که در

آورده شده است. توجه شود که در محاسبه ضریب اصطکاک در حالت حفره دار باید به چگالی حفره ها توجه داشت و بر اساس آن ضریب اصطکاک را به صورت نسبتی از سطح حفره دار و بدون حفره محاسبه کرد.

همان طور که از آزمایش ها مشخص است شرایط تماس به صورت صرفاً هیدرودینامیکی یا الاستوهدرودینامیکی نبوده است و اثر زبری و اصطکاک ناشی از آن وجود دارد که در مدل عددی دیده نشده است و بنابراین خطای در بین دو یافته وجود دارد. این خطای در سرعت های بسیار کم که سهم اصطکاک لزج نسیت به درگیری ۲ زبری ها کوچک است بیشتر دیده می شود. همان طور که در جدول ۲ مشاهده می شود، بیشترین میزان ضریب اصطکاک مربوط به آزمایش شماره ۳ و کمترین میزان مربوط به آزمایش شماره ۴ است. در بار ثابت، افزایش سرعت سبب افزایش ضخامت لایه روان کار می شود که

فهرست علائم	
علائم انگلیسی	
m	هنده حفره که بخشی از یک دایره است، <i>dimple</i>
m	عمق، D
N/m ²	مدول الاستیسیته، E
m	ضخامت لایه روان کار، h
Pa	فشار، p
m	شعاع ، r
s	زمان، t
m/s	سرعت، U
N/m	بار، w
m	مختصات مکانی، X

سرعت بالا نتایج محاسبات عددی به اندازه گیری های تجربی نزدیک شده است. خطا در مورد آزمایش ۵ و ۶ به حدود ۸ درصد می رسد. این امر به خاطر نزدیک شدن شرایط تماس در شرایط آزمایش به حالت الاستوهدیدرودینامیک است.

با مقایسه نتایج تجربی با یکدیگر مشخص شد که میزان ضریب اصطکاک برای دیسک های حفره دار حدود ۱۴ تا ۲۱ درصد نسبت به دیسک های ساده کاهش یافته است. این کمیت برای تخمین عددی حدود ۴ درصد است. با وجودی که در بخش قبل بهبود متوسط ۳۰ درصد پیش بینی شده بود ولی این میزان کاهش مربوط به چگالی حفره ۵۰ درصد است و برای چگالی های کمتر مانند ۱۲ درصد سهم حفره ها کاهش می یابد.

۵- نتیجه گیری:

علائم یونانی	
m	تغییر شکل الاستیک سطح، δ
Pa.S	ویسکوزیته، μ
kg/m ³	چگالی، ρ
زیرنویس	
.	مقدار اولیه یا مرجع
a	کمیت مربوط به جسم
b	کمیت مربوط به جسم
d	حفره
e	مقدار نهایی

مراجع

- I. Etsion, lubrication, Laser surface texturing and applications, Recent developments in wear prevention, friction, (2010) 137-158.
- I. Etsion, State of the art in laser surface texturing, Journal of Tribology, 127(1) (2005) 248-253.
- I. Etsion, L. Burstein, A model for mechanical seals with regular microsurface structure, Tribology Transactions, 39(3) (1996) 677-683.
- Y. Qiu, M. Khonsari, Experimental investigation of tribological performance of laser textured stainless

در این مقاله مدل گذراي برای شبیه سازی جریان روان کار عبوری از یک حفره ایجاد شده در سطح ارایه شد. از آنجا که دهانه حفره در قیاس با ضخامت لایه روان کار بسیار بزرگ است، جریان را به شدت تحت تأثیر می گذارد. مدل سازی جریان در لحظه ای که حفره در وسط ناحیه تماس قرار دارد و تعمیم آن به کل زمان عبور سطح مقابل از روی حفره باعث اشتباہ در تخمین ضریب اصطکاک می شود و برای بهبود این تخمین در این مقاله روش عبور حفره از سطح تماس بررسی شد و مشخص گردید که مدل سازی با یازده گام زمانی نتایج بهتری را در اختیار می گذارد. همچنین توانمندی مدل برای استخراج توزیع فشار و ضریب اصطکاک با بررسی اثر سطح حفره دار در شرایط بار و سرعت مختلف نشان داده شد. با توجه به اینکه شرایط مدل به صورت الاستوهدیدرودینامیک است مشخص گردید که با افزایش بار و سرعت ضریب اصطکاک افزایش می یابد.

همچنین در این پژوهش اثر حفره ها در شرایط نزدیک به حالت الاستوهدیدرودینامیک و مخلوط به صورت تجربی بررسی گردید. حفره هایی با روش لیزر با چگالی ۱۲ درصد روی سطح ایجاد شد که نتایج حاکی از کاهش حدود ۱۴ تا ۲۱ درصد ضریب اصطکاک برای دیسک های حفره دار بود. تخمین نتایج عددی و تجربی در سرعت های بالا به یکدیگر نزدیک بود که نشان از برقرار رژیم الاستوهدیدرودینامیک و صحت مدل سازی دارد.

- model for design and optimization of surface textures for tilting pad thrust bearings, *Tribology International*, 119 (2018) 190-207.
- [13] R. Rahmani, H. Rahnejat, Enhanced performance of optimised partially textured load bearing surfaces, *Tribology International*, 117 (2018) 272-282.
- [14] X. Meng, C. Gu, Y. Xie, Elasto-plastic contact of rough surfaces: a mixed-lubrication model for the textured surface analysis, *Meccanica*, 52(7) (2017) 1541-1559.
- [15] M. Rom, S. Müller, An effective Navier-Stokes model for the simulation of textured surface lubrication, *Tribology International*, 124 (2018) 247-258.
- [16] M. Taee, A. Torabi, S. Akbarzadeh, M. Khonsari, M. Badrossamay, On the performance of EHL contacts with textured surfaces, *Tribology Letters*, 65(3) (2017) 85.
- [17] X.-L. Yan, Y.-Y. Zhang, G.-X. Xie, X.-Q. Du, F. Qin, Effects of texture orientation on the mixed thermal elastohydrodynamic lubrication and fatigue life in point contacts, *Journal of Tribology*, 141(1) (2019).
- [18] B.J. Hamrock, S.R. Schmid, B.O. Jacobson, *Fundamentals of fluid film lubrication*, CRC press, 2004.
- [19] G. Stachowiak, A.W. Batchelor, *Engineering tribology*, Butterworth-Heinemann, 2013.
- [20] B. Antoszewski, The effect of laser surface texturing on frictional performance of sliding pair, *Zeszyty Naukowe/Akademia Morska w Szczecinie*, (2012) 14-18.
- steel rings, *Tribology International*, 44(5) (2011) 635-644.
- [5] S. Kango, D. Singh, R. Sharma, Numerical investigation on the influence of surface texture on the performance of hydrodynamic journal bearing, *Meccanica*, 47(2) (2012) 469-482.
- [6] D. Xiong, Y. Qin, J. Li, Y. Wan, R. Tyagi, Tribological properties of PTFE/laser surface textured stainless steel under starved oil lubrication, *Tribology International*, 82 (2015) 305-310.
- [7] D. Braun, C. Greiner, J. Schneider, P. Gumbsch, Efficiency of laser surface texturing in the reduction of friction under mixed lubrication, *Tribology international*, 77 (2014) 142-147.
- [8] R. Chaudhary, R. Pandey, S. Mazumdar, Tribological studies of low and high viscous oils lubricated heavily loaded textured point contacts under the reciprocating motion, *Proceedings of the Institution of Mechanical Engineers, Part J: Journal of Engineering Tribology*, 234(2) (2020) 229-246.
- [9] G. Caramia, G. Carbone, P. De Palma, Hydrodynamic lubrication of micro-textured surfaces: Two dimensional CFD-analysis, *Tribology International*, 88 (2015) 162-169.
- [10] J. Han, L. Fang, J. Sun, S. Ge, Hydrodynamic lubrication of microdimple textured surface using three-dimensional CFD, *Tribology transactions*, 53(6) (2010) 860-870.
- [11] D. Gropper, T.J. Harvey, L. Wang, Numerical analysis and optimization of surface textures for a tilting pad thrust bearing, *Tribology International*, 124 (2018) 134-144.
- [12] D. Gropper, T.J. Harvey, L. Wang, A numerical

برای ارجاع به این مقاله از عبارت زیر استفاده کنید:

A. Torabi, S. Akbarzadeh, B. Azami, *Transient numerical modeling and experimental investigation of the effect of surface texture on elastohydrodynamic lubrication*, *Amirkabir J. Mech. Eng.*, 53(Special Issue 5)(2021) 3201-3212.

DOI: [10.22060/mej.2020.18106.6737](https://doi.org/10.22060/mej.2020.18106.6737)

